

(株)間組正員 大野 脇雄

" " 家永 清

" " 合戸 修

I. まえがき

フィルダムの現地盛立試験において、三種の締固め機械により生ずる地中応力の測定を行なつた。締固め機械の走行により締固め層中には動的な地中応力が発生する。この地中応力のうちで、土の締固め機構を支配すると考えられるのが最大垂直土圧 $\sigma_{z\max}$ である。しかし、締固め機械により発生する地中応力の測定例は少なく、また締固め層中に発生する地中応力の分布が、かなり複雑であるため解明されていない点が多い。本報告は、コンパクタードーナー(825B), 被けん引式タンピングローラー(SR-6), 振動ローラー(KW-210)の3種の締固め機械により生ずる地中応力の測定を行ない、発生する土圧、実測値と理論値との比較、ならびに同時に測定した現場密度、粒度変化、沈下量の測定結果から、その締固め効果についても述べることとする。

II. 材料ならびに締固め機種

盛立試験に用いた材料は、黒色片岩の風化土でその物理的、力学的性質を表-1に示す。また締固めに用いた機種の仕様を表-2に示す。

表-1 材料の性質

項目		試験結果
自然含水比 W_n	(%)	13.0~15.0
土粒の比重 G_s		2.745
粒度特性	最大粒径 D_{max} (mm)	100.0
	4.75" フル通過率 (%)	65.0
	0.074" "	30.0
コンシスティンシー	液性限界 WL (%)	36.0
	塑性限界 WP (%)	24.0
	塑性指数 I_P (%)	12.0
締固め特性	小型 最適含水比 W_{opt} (%)	13.0
	最大乾燥密度 γ_{max} (kg/m³)	1.900
	大型 最適含水比 W_{opt} (%)	11.8
	最大乾燥密度 γ_{max} (kg/m³)	1.946

III. 試験方法

盛立試験は25m×30mを1区画とし、これを3ブロックに分割し、各機種の転圧レーンを設けた。地中応力の測定を実施した締固め機種、含水比、干き出し厚、埋設位置の組合せを表-3に示す。計測に用いた土圧計は、差動トランジ型のPA-2F-300ヒストレインゲージ型のBE-2KEの2種、加速度計はストレインゲージ型のAS-5Cである。計測は締固め機種の通過毎に、全締固めについて行った。また締固め開始時には静的土圧の測定を行なつた。

表-2 各種転圧機種の仕様

型式	被けん引式タンピングローラー SR-6	振動式コンパクター B25B	振動式振動ローラー KW-210
製造メーカー	マイケル(米国)	モービル社(米国)	ボスター社(西独)
総重量	20,000 kg	30,000 kg	8,800 kg
全長	5.00 m	7.11 m	5.10 m
全巾	3.85 m	3.81 m	2.50 m
全高	1.85 m	3.63 m	2.20 m
ドライブ	2個	4個	1個
ドライブ軸間隔	1.45~1.46	1.30~1.33	1.40~2.10
フット長さ	20.0 cm	19.1 cm	—
有効締固め幅	2.80 m	2.20 m	1.90 m

表-3 締固め機種と測定器の組合せ

含水比	土圧計型式 (測定範囲)	測定範囲	締固め機種	埋設位置	メーカー
W_{opt}	PA-2F-300 (30cm)	±0°	BWZ10	1層、2層、3層	坂田 (差動トランジ)
	BE-2KE (40cm)	±0°	B25B	"	井和 (ストレインゲージ)
$W_{opt} + 3\%$	PA-2F-300 (30cm)	±0°	BWZ10	1層、2層、3層	坂田 (差動トランジ)
	BE-2KE (40cm)	±0°	B25B	"	井和 (ストレインゲージ)
$W_{opt} + 2\%$	PA-2F-300 (30cm)	±0°	BWZ10	1層、2層	坂田 (差動トランジ)
	BE-2KE (40cm)	±0°	B25B	"	井和 (ストレインゲージ)
	SK-6	±0°	SK-6	"	井和 (ストレインゲージ)
0	(AS-5C) AS-5C (20)	±0~+8°	BWZ10	"	井和 (ストレインゲージ)

IV. 測定結果

測定記録は、静的土圧、動的地中応力、地中応力の影響範囲、振動はラーラーの加速度および振動数の項目について解析した。

(1) 盛土高と静的土圧の関係

盛土高と静的土圧との関係を図-1に示す。湿润密度を $\gamma_t = 2.1 \text{ t/m}^3$ とし高さ計算値 (左丸) と比較すると、実測値の方がやや大きな値 (右丸) を示しており、盛土深部におけるこの傾向が著しい。

(2) 転圧回数と地中応力

転圧回数と地中応力との関係を図-2に示す。地中応力と転圧回数との関係は認められない。たゞ転圧回数1回とは綿谷の機械走行1回をさす。

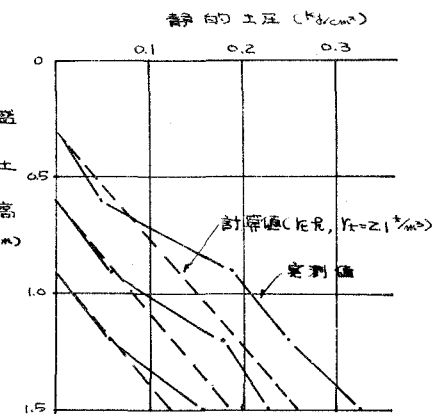


図-1 盛土高と静的土圧の関係

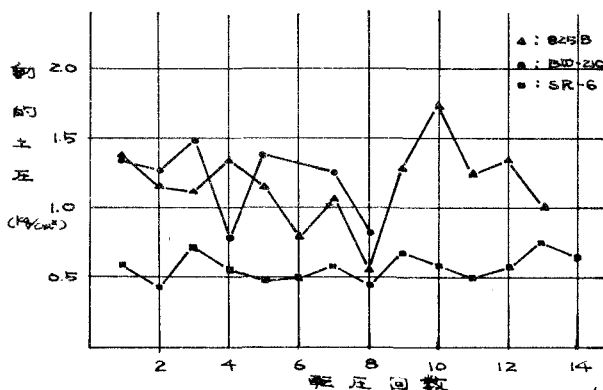


図-2 平整化転圧時ににおける動的土圧と転圧回数の関係

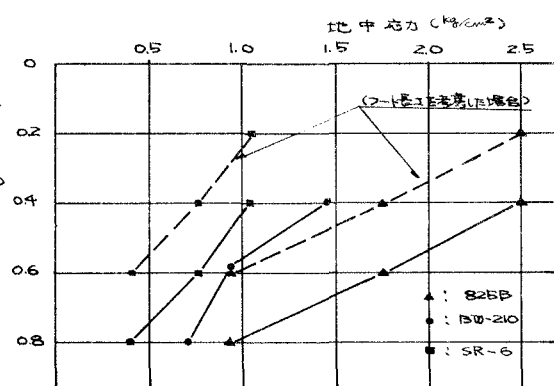


図-3 各機種の深度方向の地中応力

(3) 地中応力の深度変化

各締固め機種の地中応力測定最大値の深度変化を図-3に示す。深度の増加に伴ない地中応力は減衰する。特に深度1.0m程度までの減衰が激しく、3機種うちでは、825Bの減衰が目立つ。

(4) 地中応力の影響範囲

オシログラフによる時間-垂直土圧の関係を図-4に示す。図-4より土圧計設置位置に対する影響(動的地中応力の変化が認められた時から3までの間)を転圧速度より範囲として描くことができる。図-5に各締固め機種の深度別水平方向影響範囲を示す。深度の增加に伴い影響範囲も広くなるが、その増加割合は深度增加に伴い減少する。

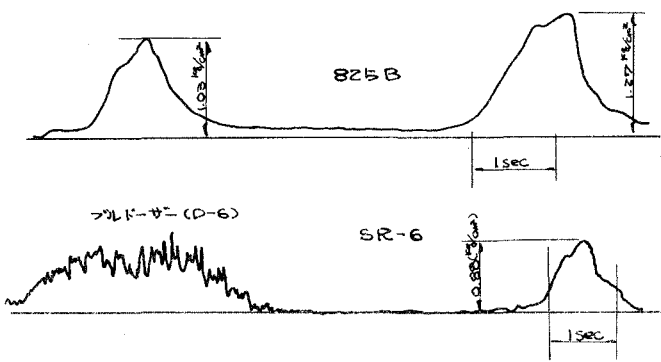


図-4 各機種の時間-垂直土圧の関係例

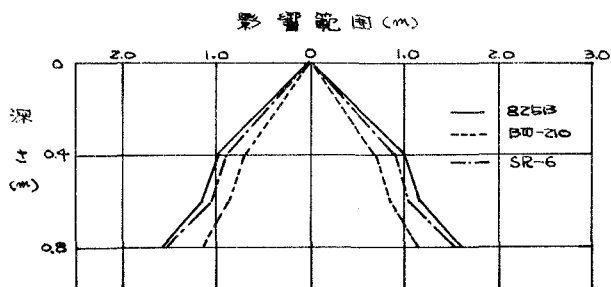


図-5 各機種と影響範囲の関係

(5) 振動ローラーの鉛直方向加速度

振動ローラーの鉛直方向加速度と転圧回数、加速度の変化を図-6に示す。転圧回数の増加に伴ない、加速度は増加し、また深度の増加により加速度は減少する傾向を示している。

(6) 振動ローラーの振動数

加速度計に伝達した振動ローラーの振動数を、オシロペーパーから読み取った。最高2,070 rpm、最低1,312 rpmで、ほぼ1,700~2,000 rpmの範囲にあり、転圧回数の増加とともに振動数も増加する傾向がみられた。

V. 試験結果の考察

(1) 三機種の転圧効果の比較

地中応力などの測定と同時に実施した現場密度の測定結果を図-7、締固めによる粒度変化測定結果を図-8、締固めに伴なう地表面沈下の状況を表-4に示す。これら3つの図表から(1)に図-4に示した最大地中応力(825B, SR-6のフートの長さを考慮して)、影響範囲からみて、締固め効果は、825B, BW-2/10, SR-6の順に小さくなることが判断される。またフートのついた825B, SR-6の方が平滑な転圧面を有するBW-2/10よりも細粒効果が大きくなる。

(2) 地中応力の実測値と理論値との比較

まず静的土圧の実測値の方が、計算値と比較し、高い値を示す傾向にあるが、これは計器設置時の締固めによる、埋戻し土の剛性が原地盤より大きくなり、この部分に応力集中が生ずるためと考えられる。

次に、動的地中応力の実測値と比較するため、各機種の荷重が線荷重として働くものと仮定し、式1を用いて実測値から地表面荷重を推定した。

$$\sigma_{z\max} = \frac{f}{2} \frac{P}{z} \quad (1)$$

ここで $\sigma_{z\max}$: 地中応力 (kg/cm^2)
 P : ローラーの線荷重 (kg/cm)
 z : 深さ (cm)

f : 集中係数 (f は考慮される係数)
 (粘性土 $f=3$, 砂質土 $f=6$)

レ: 奇数のとき $f = \frac{1}{\pi} \cdot \frac{(1-1)(1-3)(1-5)\dots(1-4)}{(1-2)(1-4)(1-6)\dots(1-2)}$

レ: 偶数のとき

$$f = \frac{1}{2} \cdot \frac{(1-1)(1-3)(1-5)\dots(1-5)}{(1-2)(1-4)(1-6)\dots(1-4)}$$

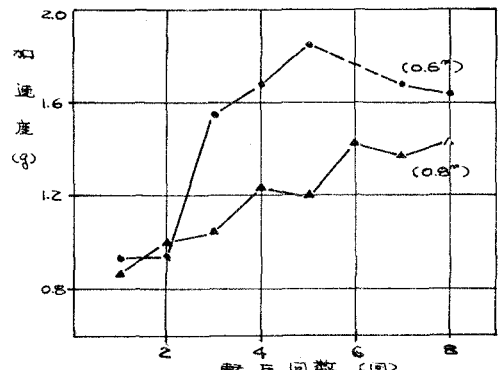


図-6 BW-2/10 の転圧回数と加速度の関係

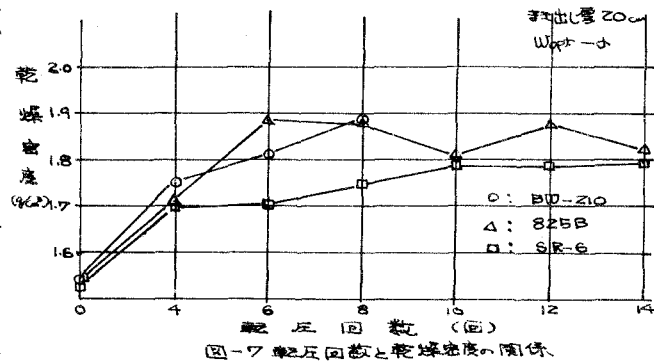


図-7 転圧回数と乾燥密度の関係

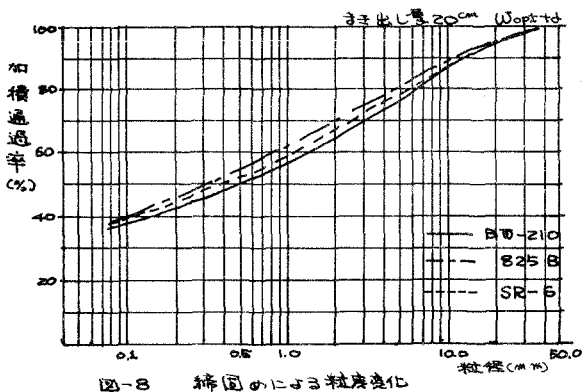


図-8 締固めによる粒度変化

表-4 沈下率一覧表 ($W_{opt}-d$)

(A) 主取出量 (cm³)	(B) 締固め荷重 転圧回数 (t)	(C) 沈下量 (cm)	(D) 沈下率 (%) $\times 100$	(E) 潤滑 密度 (1- γ) $\times 100$	(F) 沈下率 (%)
20	BW-2/10	4	1.8	9	1.729 1.962 11.9
		8	2.3	11.5	2.121 18.5
	825B	8	3.6	18	1.744 2.107 17.2
		14	3.4	17	2.062 16.4
SR-6		8	3.2	16	1.735 1.970 11.9
		14	3.5	17.5	2.023 14.2

この結果を表-5、図-9に示す。振動ローラーにおいては、現論値とはほぼ一致するが、タンピング系のものは、ローラー同志による干渉(825B-前後輪2個計4個, SR-6-2個)、フートの貫入など問題で理論値と異なる結果がえられるものと思われる。また、自走式のものと、りん引式のものとでも異なると思われるが、転荷重の締固め時のローラー荷重は、総荷重として取り扱つてもよいかであろう。

表-5 各機種の総荷重

機種	深度 (cm)	地中応力 (kg/cm ²)		地中応力 (kg/cm ²)	総荷重 (kg/cm ²)
		推定 地表面荷重 (kg/cm ²)	地表深荷重 (kg/cm ²)		
BW-210	40	1.48	92.9		
	60	0.91	85.7		
	80	0.71	89.2		
	平均		89.3	96.6	
825-B	40 (20)	2.64	155.4 (78.5)		
	60 (40)	1.76	165.3 (110.5)		
	80 (60)	0.88	110.5 (82.8)		
	平均		144.9 (96.5)	73.0	
SR-6	40 (20)	1.03	64.7 (32.3)		
	60 (40)	0.76	71.5 (45.7)		
	80 (60)	0.38	47.7 (35.9)		
	平均		61.3 (38.4)	68.5	

C : 内1.2フートまで考慮して深さ1.2

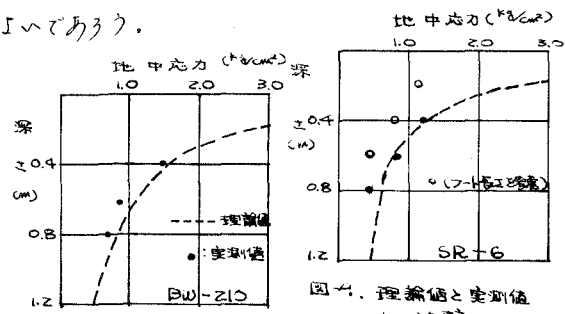


図-9. 理論値と実測値との比較

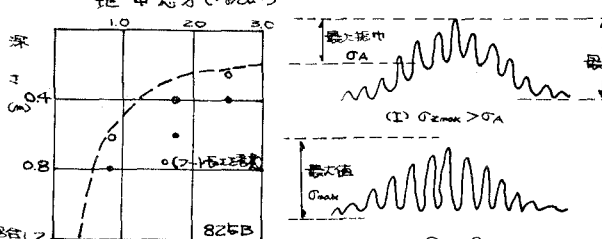


図-10 振動ローラーにおける走行の特性

(3) 振動ローラーによる締固め特性

振動ローラーのG- σ 曲線では、図-10に示すように、2つの代表的な波動が考えられる。(I)振幅G_Aの下限が0でない場合、(II) G_Aの最小値が0である場合である。

(I)は振動輪が地表面に常に接地している状態であり、(II)は完全に跳躍している状態である。図-11はG/G_{max}と転圧回数の関係を示す。今回の測定結果は、ほとんどが(I)型であるが、転圧回数の増加に伴ない(II)型に近くなる、といふ。次に土圧計に伝達した振動ローラーの振動数および加速度と締固め度と転圧回数の関係を図-12に示す。振動系の振動数・加速度

締固めによる地中応力の要因は、自重のほかに振動数と振幅があげられる。この図からも締固め度の増加は振動締固めによつて発生する振動数・加速度の増加としてもうえようことができると判断される。

Ⅳ. あとがき

最後に今回の測定にあたり、多大の協力をえた古水資源開発公団寺内ダム建設所、坂田電機(株)、共和電業(株)に深く感謝します。

参考文献

- 久野悟郎：土の締固め，技報堂全書，昭和38年3月
- 渡辺、藤井、岡田：締固め機械による発生する地中応力、第6回国土質工学研究発表会、昭和46年6月
- 沢田、渡辺、藤井：締固め機械の走行速度と地中応力、第7回国土質工学研究発表会、昭和47年6月

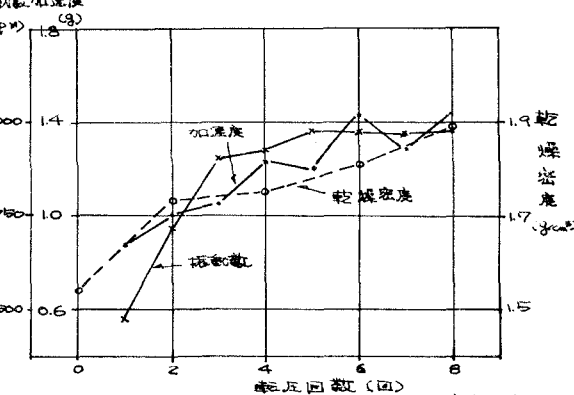


図-11 G/G_{max} と 転圧回数の関係

↑ G/G_{max} (%) ↑

↑ G/G_{max} (%) ↑

↑ G/G_{max} (%) ↑

↑ G/G_{max} (%) ↑